



## بررسی تاثیر اضافه نمودن نانوذرات نیتیانیا به ماده تغییر فاز دهنده سیستم ترکیبی خنک کاری با تری با شار حرارتی ثابت

محسن ملکی پور<sup>۱</sup>، مجید سبزپوشانی<sup>\*</sup><sup>۱</sup>، احسان هوشفر<sup>۲</sup>

<sup>۱</sup> دانشکده مهندسی مکانیک، دانشگاه کاشان، کاشان، ایران

<sup>۲</sup> دانشکده همراهی مکانیک، دانشگاه تهران، تهران، ایران

### تاریخچه داوری:

دریافت: ۱۳۹۹/۰۵/۱۵

بازنگری: ۱۳۹۹/۰۹/۱۶

پذیرش: ۱۳۹۹/۱۰/۰۴

ارائه آنلاین: ۱۳۹۹/۱۱/۱۱

### كلمات کلیدی:

انتقال حرارت

نانوپارافین

باتری های لیتیوم-یونی

روش تجربی

**خلاصه:** افزایش دمای باتری های لیتیوم یون به عنوان یک چالش شناخته شده است. در این تحقیق، با تکمیل سیستم مدیریت حرارتی ترکیبی، تاثیر اضافه نمودن ذرات نیتیانیا به ماده تغییر فاز دهنده پارافین روزی عملکرد خنک کاری باتری در دو حالت توان حرارتی ثابت  $4/5$  و  $14$  وات بررسی شده است. سیستم ترکیبی شامل نانوپارافین و فوم فلزی به همراه دو نوع سیال عامل آب و هوا است. برای سیال عامل هوا، در حالت های پارافین خالص و نانوپارافین با چهار درصد حجمی نانوذرات  $1$ ،  $2$ ،  $3$  و  $4$ ، دمای باتری به ترتیب برابر  $49/3^{\circ}\text{C}$ ،  $50/7^{\circ}\text{C}$ ،  $51/8^{\circ}\text{C}$  و  $48^{\circ}\text{C}$  بدست آمد است. از بین موارد بررسی شده، حالت نانوپارافین  $4$  درصد حجمی بیشترین کاهش دمای باتری داشته که نسبت به حالت پارافین خالص، حدوداً  $17\%$  است. در سیستم با سیال عامل آب و در عدد رینولدز های  $420$ ،  $600$  و  $720$ ، با استفاده از فوم مسی و نانوپارافین، باتری به دمای پایدار به ترتیب  $48^{\circ}\text{C}$ ،  $46^{\circ}\text{C}$  و  $44^{\circ}\text{C}$  رسیده که در مقایسه با حالت پارافین خالص، باعث کاهش دما به مقدار  $11\%$ ،  $12\%$  و  $12/5\%$  شده است. لذا با توجه به کمبودن ضریب هدایت حرارتی پارافین، افزودن نانوذرات باعث افزایش نرخ انتقال حرارت شده و گزینه مناسبی برای سیستم ترکیبی می باشد.

### ۱- مقدمه

را در محدوده مناسب داشته باشد، بلکه باید بتواند بیشینه اختلاف دما درون هر سلول باتری را در حداقل مقدار خود نگه دارد تا از تخریب سلول جلوگیری کند [۲]. عملکرد مطلوب باتری های لیتیوم-یون، محدود به شرایط دمایی باتری می باشد. با توجه به توصیه های تولید کنندگان این نوع از باتری ها، دمای مطلوب محیط کار کرد باتری در حین تولید انرژی بین  $0$  تا  $45$  درجه سلسیوس است و در هر صورت نباید از محدوده ایمن  $60$  درجه سلسیوس فراتر رود. بر این اساس محققان تلاش کرده اند تا با ارائه سیستمهای متنوع برای خنک کاری این نوع باتریها به این مشکل مهم غلبه کنند. به منظور برآورده کردن این شرایط مدیریت حرارتی و قرار دادن باتری در شرایط ایمن، از استراتژی های گوناگونی

باتری های لیتیوم-یونی، به خاطر بالابودن ظرفیت حرارتی، چرخه عمر طولانی و نرخ تخلیه خود به خودی پایین، به طور گستره دهای در صنایع و بخصوص در خودروهای الکتریکی به کار گرفته شده اند. اما موضوع پایداری حرارتی شامل چالش هایی نظیر ظرفیت تخریب، فرار حرارتی و حتی انفجار بر اثر گرمای بیش از حد و توزیع حرارتی غیر یکنواخت باعث بروز مشکلات متعددی در استفاده از آنها شده است. لذا استفاده از سیستم مدیریت حرارتی باتری مناسب که قادر به برآورده کردن شرایط لازم باشد از نکات ضروری در طراحی این نوع باتری می باشد [۱]. با توجه به موارد ذکر شده، سیستم انتقال حرارت و خنک کاری باتری نه تنها باید توانایی نگهداری دمای مجموعه باتری ها

\* نویسنده عهده دار مکاتبات: spooshan@kashanu.ac.ir

حقوق مؤلفین به نویسنده دگان و حقوق ناشر به انتشارات دانشگاه امیرکبیر داده شده است. این مقاله تحت لیسانس آفرینشگی مردمی (Creative Commons License) در دسترس شما قرار گرفته است. برای جزئیات این لیسانس، از آدرس <https://www.creativecommons.org/licenses/by-nc/4.0/legalcode> دیدن فرمائید.



حرارتی مواد تغییرفازدهنده، افودن نانوذرات به این مواد می‌باشد. به عنوان نمونه، الجافی و لفدى [۱۱] در مطالعه‌ای به بررسی افزودن ذرات نانو فیبرکربنی به مواد تغییرفازدهنده پرداختند. نتایج آنها نشان داد که با افزایش درصد حجمی نانوذرات، ظرفیت گرمایی کاهش و نرخ خنک‌کاری افزایش می‌یابد. در تحقیقی دیگر، بحیرایی و همکاران [۱۲] به افزایش هدایت حرارتی مواد تغییرفازدهنده خالص با استفاده از افزودن نانوذرات به این مواد پرداختند. روفوس و همکاران [۱۳] نیز در مطالعه‌ای تجربی به بررسی تاثیر افزودن نانوذرات به مواد  $\text{CuO}$ ,  $\text{TiO}_2$  و  $\text{GO}$  در سیستم تقطیر خورشیدی پرداخته و عملکرد مثبت استفاده از این نوع مواد را گزارش کردند. ونگ و همکاران [۱۴] عملکرد مواد تغییرفازدهنده را برای باتری لیتیوم-یون بررسی کردند و کاهش ۲۰ درصدی در بیشینه دمای باتری را در شرایط تخلیه شارژ مشاهده نمودند. محمود و پارک [۱۵] سیستم خنک‌کاری باتری لیتیوم-یون با جریان هوای رفت و برگشتی را به صورت عددی بررسی کردند. نتایج مطالعه آنها نشان داد که سیستم رفت و برگشتی، توزیع دمای یکنواخت‌تری را در مقایسه با سیستم یک‌طرفه فراهم می‌آورد. پارک [۱۶] سیستم خنک‌کاری مجموعه‌ای از باتری‌ها شامل ۳۶ باتری مستطیلی و ۳۷ مسیر خنک‌کاری با جریان اجباری هوا را به صورت عددی مطالعه کرد و به این نتیجه رسید که استفاده از سیستم تهیه مطبوع می‌تواند توان مورد نیاز فن‌ها را کاهش دهد، هرچند به دنبال جریان زیادی از هوا برای خنک‌کاری باتری‌ها نیاز می‌باشد.

سیستم‌های خنک‌کاری باتری بر پایه هوا به شدت به دمای هوای پیرامون وابسته بوده و در شرایط کاری شدید با دمای بالا و نرخ تخلیه شارژ بالا این سیستم‌ها قادر به کنترل مناسب دمای باتری نمی‌باشند [۱۷]. همچنین با توجه به پایین‌بودن ظرفیت حرارتی سیستم‌های بر پایه هوا، از نظر ایجاد توزیع دمای یکنواخت روی سطح باتری و یا میان سلول‌های باتری نیز عملکرد مناسبی ندارند [۱۸]. لذا برخی از محققان به استفاده از سیستمهای بر پایه مایعات پرداخته‌اند.

مطالعات زیادی بر روی سیستم‌های خنک‌کاری باتری بر پایه مایعات انجام شده‌است. فنگ و همکاران [۱۸] با ترکیب کردن سیستم خنک‌کاری با جریان اجباری هوا و سیستم تبخیر آب، روند خنک‌کاری باتری‌های استوانه‌ای را به صورت تجربی بررسی کردند و موفق شدند دمای باتری را در دمای کمتر از ۶۰ درجه سلسیوس نگه‌دارند. لیان

از قبیل خنک‌کاری با هوا [۳]، خنک‌کاری با مایع [۴]، لوله حرارتی<sup>۱</sup> [۵] و استفاده از مواد تغییرفازدهنده<sup>۲</sup> [۶] استفاده شده‌است. سیستم‌های مدیریت حرارتی باتری به دو نوع فعال و غیرفعال تقسیم‌بندی می‌شوند. در سیستم فعال، از جریان اجباری سیال خنک‌کننده مانند هوا، آب و یا نانو سیال و در سیستم غیرفعال از محیط پیرامون برای خنک‌کاری استفاده می‌شود. هوا، مایعات، مواد تغییرفازدهنده و یا ترکیبی از آن‌ها می‌توانند به عنوان واسطه انتقال حرارت در سیستم غیرفعال استفاده شوند. هر کدام از این موارد نقاط قوت و ضعف خود را داشته و از آنجایی که بر روی وزن، اندازه و هزینه تمام شده سیستم تأثیر می‌گذارند، باید مطابق با نیازهای وسیله الکتریکی مورد استفاده قرار گیرند. سیستم خنک‌کاری بر پایه هوا معمولاً ساده‌تر و کم‌هزینه‌تر از سیستم بر پایه مایعات بوده ولی اثربخشی آن نیز کم‌تر است.

برای بهبود انتقال حرارت و خنک‌کاری باتری‌های لیتیوم-یون در سیستم غیرفعال باتری، استفاده از مواد تغییرفازدهنده و نیز فومهای فلزی<sup>۳</sup> و ترکیب آنها توسط برخی از محققان پیشنهاد شده‌است [۷-۸]. مواد تغییرفازدهنده با دارابودن گرمای نهان بالا می‌توانند گرما را در حین تغییر فاز جذب کرده و افزایش دما را به تأخیر انداخته و یا شیب آن را کاهش دهند. از این رو این مواد برای استفاده در سیستم‌های مدیریت حرارتی توجه زیادی را به سمت خود جلب کرده‌اند. پارافین یکی از متداول‌ترین مواد تغییرفازدهنده می‌باشد که از جمله ویژگی‌های آن عملکرد حرارتی پایدار، گرمای نهان بالا، بازه دمای ذوب گسترده و غیررسمی بودن است که این ماده را تبدیل به گزینه مناسب برای سیستم مدیریت حرارتی کم یک اشکال عمده است که باعث کاهش سرعت ذخیره‌سازی گرما و بازیابی در طی فرآیند ذوب و تبلور می‌شود. با توجه به پایین‌بودن ضربی هدایت حرارتی مواد تغییرفازدهنده، مواد خالص تغییرفازدهنده به تنها‌ی توانایی کنترل دما در سیستم مدیریت حرارتی را دارا نمی‌باشند. محققان نشان دادند که کاهش مقاومت حرارتی جابجایی و افزایش ضربی هدایت حرارتی مواد تغییرفازدهنده باعث کاهش دمای باتری می‌شود [۹]. یکی از روش‌های جدید برای افزایش هدایت

<sup>1</sup> Heat pipe<sup>2</sup> Phase change materials<sup>3</sup> Metal foam

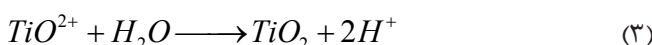
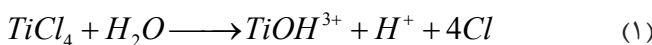
نگهداری بیشتری نیز به مصرف کننده تحمیل می‌کنند. یکی از ویژگی‌های منفی پارافین، ضریب هدایت حرارتی پایین آن است که محققان را به سمت استفاده از موادی با هدایت حرارتی بالا همچون فوم‌های فلزی و نانوذرات به همراه پارافین ترغیب کرده‌است تا بتوانند هدایت حرارتی کل ماده را بالا ببرند [۲۳]. با توجه به تکنولوژی‌های در دسترس برای خنک‌کاری باتریهای لیتیوم-یون، استفاده از سیستمهای ترکیبی به عنوان یک گزینه جدید مورد توجه قرار گرفته است. محارابی و همکاران [۲۴] سیستم ترکیبی فوم فلزی مسی با ماده تغییرفازدهننده را برای بخش غیرفعال و جریان جابجایی اجباری با سیال عامل هوا برای بخش فعال سیستم بکار بردند و نشان دادند که استفاده از سیستم فوم مسی با ماده تغییرفازدهننده می‌تواند دمای سطح باتری را نسبت به حالت عدم استفاده از آن، بیشتر کاهش دهد. رنجبران و همکاران [۲۵] تأثیر استفاده از فوم‌های مسی با درصدی‌های مختلف بر روی خنک‌کاری باتری را مورد بررسی قرار دادند و دریافتند که استفاده از فوم مسی هدایت حرارتی ترکیب مشکل از ماده تغییرفازدهننده و فوم فلزی را افزایش داده است، اما استفاده از فوم فلزی با درصد بالا تأثیر منفی بر روی روند خنک‌کاری می‌گذارد. در مطالعه‌ای تجربی توسط ژانگ و همکاران [۲۶] سیستم خنک‌کاری باتری با استفاده از ترکیب گرافیت گسترد و پارافین بدون سیستم خنک‌کاری فعال مورد مطالعه قرار گرفت. نتایج کار آن‌ها برای شرایط عملکردی مختلف نشان داد که این سیستم می‌تواند افزایش دمای باتری در حین تخلیه شارژ را در محدوده این نگهدار و لی موجب بیشینه اختلاف دمای ۵ درجه سلسیوسی میان سلول‌های باتری می‌شود. اگرچه گرمای نهان ذوب بالای پارافین ویژگی مهمی برای سیستم خنک‌کاری غیرفعال است ولی فاز مایع پارافین، اثر خنک‌کاری کارآمدی نداشته و قابلیت کنترل دمای باتری به خصوص در نرخ‌های تخلیه زیاد را ندارد. بنابراین برای کارکرد با نرخ تخلیه بالا و برای طولانی مدت، باید از ترکیب سیستم‌های فعال و غیرفعال برای کنترل افزایش دمای باتری استفاده کرد. لینگ و همکاران [۲۷] سیستم خنک‌کاری با جابجایی اجباری هوا را با سیستم غیرفعال شامل مواد تغییرفازدهننده ترکیب کردند تا بتوانند مشکل گرمشدن بیش از حد اینم در باتری‌های استوانه‌ای لیتیوم-یون را حل کنند. نتایج عددی و تجربی آن‌ها نشان داد که استفاده از مواد تغییرفازدهننده، به تنها یک پاسخگوی کنترل دمای باتری در

و همکاران [۱۹] با انجام تحقیقات عددی و تجربی، عملکرد سیستم خنک‌کاری باتری‌های لیتیوم-یون منشوری را با استفاده از آب و کanal‌های کوچک خنک‌کننده مطالعه کردند. نتایج این کار تحقیقاتی در دماهای مختلف و نرخ‌های تخلیه شارژ متفاوت نشان داد که نواحی اطراف الکترودها، دمای بیشتری نسبت به نواحی مرکزی باتری دارند. تأثیر استفاده از سیستم‌های مختلف در خنک‌کاری باتری لیتیوم-یون توسط لینگ و همکاران [۲۰] مورد مطالعه قرار گرفت. آن‌ها اثر دما و دبی سیال خنک‌کننده، دمای محیط پیرامون و عملکرد گذرای سیستم خنک‌کاری لوله گرمایی را بررسی کردند و نشان دادند که روش خنک‌کاری متنابض می‌تواند با مصرف انرژی کمتر، عملکرد حرارتی مشابه با حالت خنک‌کاری به صورت پیوسته را ایجاد نماید و از این‌رو جایگزین آن‌ها دریافتند که دبی سیال خنک‌کننده دارای حد بیشینه در خنک‌کاری باتری می‌باشد [۲۰]. برخی از محققان برای افزایش نرخ انتقال حرارت در بخش فعال سیستم مدیریت حرارتی به جای سیال آب، از نانوسیال بر پایه آب استفاده کردند و نشان دادند که در حالت کلی استفاده از نانوسیال به عنوان سیال عامل، می‌تواند باتری را در مقایسه با سیال پایه آب خنک‌تر نماید، هرچند که افزایش توان پمپ به عنوان نقطه ضعف این روش شناخته‌می‌شود [۲۱-۲۲]. کیانی و همکاران [۲۱] در مطالعه‌ای تجربی و عددی به طراحی سیستم ترکیبی مدیریت حرارتی پرداختند. سیستم طراحی شده شامل ترکیب پارافین به عنوان ماده تغییرفازدهننده، فوم مسی به عنوان سیال عامل در بخش سیستم فعال می‌باشد. نتایج آنها در عده‌های رینولدز و توان‌های حرارتی مختلف نشان داد که استفاده از نانوسیال آلومینا در مقایسه با آب، باعث کاهش دمای باتری و نیز به تاخیر افتادن محدوده زمانی ذوب پارافین شده است. همچنین مشایخی و همکاران [۲۲] برای بخش فعال سیستم ترکیبی، نانوسیال و برای بخش غیرفعال آن، پارافین و فوم مسی را در میکروکانال‌های تعییه‌شده بکاربردند و تأثیر مثبت این سیستم ترکیبی در مدیریت حرارتی باتری را گزارش کردند. بهر حال علی‌رغم این که سیستم‌های خنک‌کاری با مایع از سیستم‌های بر پایه هوا کارآمدتر می‌باشند، این سیستم‌ها عموماً سنگین‌تر و پرهزینه‌تر نیز می‌باشند و همچنین هزینه‌های

### ۱-۲- آماده‌سازی کامپوزیت ماده تغییرفازدهنده با فوم مسی

پارافین به کار رفته در این آزمایش از نوع بلوکی با دمای ذوب ۴۲ تا ۴۴ درجه سلسیوس با چگالی ۹۰۰ کیلوگرم بر مترمکعب، گرمای نهان ذوب ۲۴۹ کیلوژول بر کیلوگرم، با ترکیب شیمیایی مخلوط نمک و هیدروکربن اشباع شده، رنگ سفید مات، بدون بو، با اسیدیته خنثی، غیرقابل حل در آب و غیرسمی می‌باشد که از شرکت مرک<sup>۱</sup> آلمان خریداری شده است.

برای تهیه ناذرات تیتانیا و با روش واکنش هیدرولیز، ۱ میلی لیتر  $TiCl_4$  به ۲۰ میلی لیتر محلول هیدروژن کلراید چکیده می‌شود و در یک حمام آب یخ، بهم زده می‌شود. سپس ۲ میلی لیتر محلول آمونیاک برای مصرف بیشتر هیدروژن کلراید به مخلوط اضافه می‌شود و مخلوط به مدت سی دقیقه در دمای اتاق هم زده می‌شود. پس از آن، درجه حرارت مخلوط به ۹۰ درجه سلسیوس افزایش یافته و به مدت ۶۰ دقیقه هم زده می‌شود. محلول آمونیاک به داخل مخلوط چکیده می‌شود تا مقدار بی‌اچ آن به ۶ برسد. بدون هم زدن و گرم کردن، این مخلوط به طور طبیعی در حدود ۸ ساعت در دمای اتاق خنک می‌شود. مخلوط پس از واکنش توسط آب قطر رقیق شده، فیلتر شده و به طور مکرر شسته می‌شود تا زمانی که شستشوها حضور  $Cl^-$  را نشان ندهد. جامد تمیز شده جمع‌آوری و در دمای ۶۰۰ درجه سلسیوس به مدت ۳ ساعت خشک می‌شود که پودر خشک شده، شامل نانوذرات  $TiO_2$  می‌باشد. واکنش‌های شیمیایی آن به صورت زیر می‌باشند:



نانوذرات توزیع شده در پارافین، نانوذرات اکسید تیتانیوم با میانگین اندازه  $nm 20$  می‌باشد. نانوذرات ساخته شده به پارافین اضافه شده و این مخلوط به مدت سی دقیقه در دمای ۶۵ درجه سلسیوس بطور کامل هم زده شده و به تدریج خنک می‌شود تا توزیع یکنواخت نانوذرات در پارافین حاصل شود.

از دستگاه KD2 با دقت اندازه‌گیری  $(mK/W)^{±0.1}$  برای

محدوده ایمن نمی‌باشد ولی با استفاده از سیستم ترکیبی، خنک کاری با تری بهبود یافته و با تری قادر است در محدوده دمایی مجاز عمل کند. **ژائو و همکاران [۲۸]** خنک کاری با تری استوانه‌ای لیتیوم-یون را با استفاده از مواد تغییرفازدهنده و فوم مسی به همراه سیستم خنک کاری فعال به صورت عددی مورد مطالعه قراردادند و کاهش ۱۴ درجه سلسیوسی در کاهش دمای بیشینه با تری را با استفاده از سیستم ترکیبی مشاهده کردند.

مرور مطالب بالا نشان می‌دهد که استفاده از سیستمهای ترکیبی فعال و غیرفعال می‌تواند در مدیریت حرارتی با تریهای لیتیوم-یون موفق عمل کند. با این وجود، اضافه نمودن نانوذرات به مواد تغییرفازدهنده و تاثیر آن روی کاهش دمای با تری در این سیستمهای ترکیبی تحقیقی انجام نشده است. لذا در این پژوهش یک سیستم ترکیبی مدیریت حرارتی شامل نانوذرات اضافه شده به پارافین (نانوپارافین) برای خنک کاری با تری لیتیوم-یون که توسط مراجع [۲۱-۲۲ و ۲۴] معرفی شده، توسعه داده شده است. در مطالعه حاضر، سیستم خنک کاری ترکیبی با استفاده از تلفیق سیستم خنک کاری فعال (با دو نوع سیال عامل هوا و آب) و سیستم غیرفعال (شامل نانو-پارافین و فوم مسی) به صورت تجربی بررسی شده است تا اثر نانوپارافین روی عملکرد سیستم ترکیبی مشخص شود. برای تهیه نانوپارافین، نانو ذرات تیتانیا در درصدهای حجمی مختلف در پارافین بطرور کاملاً یکنواخت توزیع شده است. به منظور مشخص نمودن تاثیر شامل چندین عدد مختلف رینولدز جریان سیال عامل در کانال، دو توان حرارتی مختلف و ثابت و نیز درصدهای مختلف حجمی نانوذرات توزیعی در پارافین بررسی می‌شود.

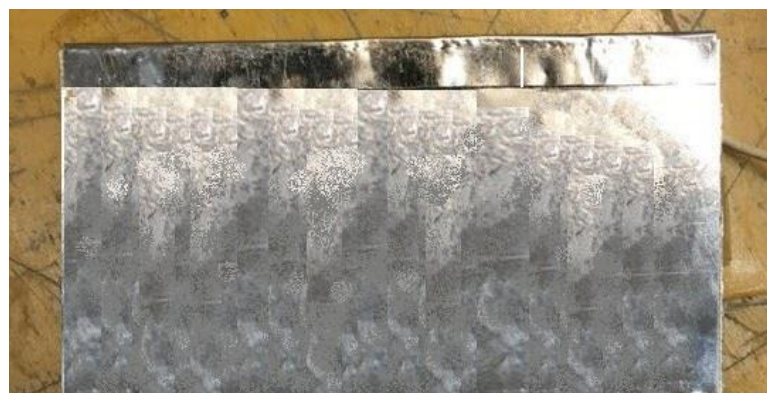
### ۲- مجموعه آزمایشگاهی

سیستم ترکیبی مورد استفاده در این تحقیق توزیع یافته سیستم ترکیبی معرفی شده توسط مراجع [۲۱-۲۲] می‌باشد. این تحقیق در آزمایشگاه نانو سیالات دانشگاه تهران انجام شده است. نحوه ترکیب فوم مسی با پارافین خالص مشابه مراجع [۲۱-۲۲] می‌باشد که از این روش برای توزیع نانوپارافین در فوم مسی نیز استفاده شده است. چگونگی توزیع ناذرات آلومینا در پارافین نیز در ادامه توضیح داده شده است.



شکل ۱. حمام حرارتی

Fig. 1. Thermal Bath



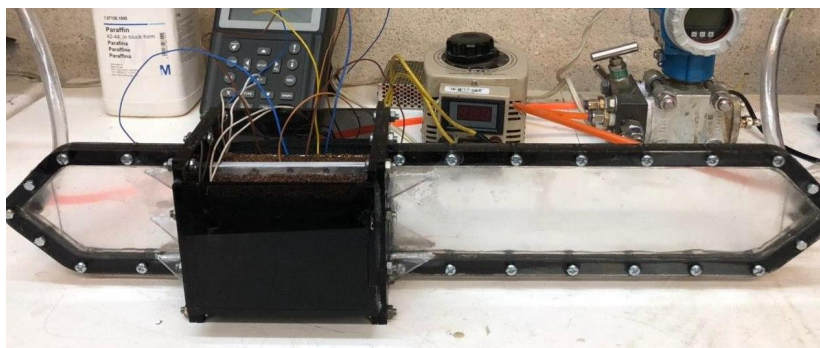
شکل ۲. نمایی از گومکن کتابی مورد استفاده در آزمایش

Fig. 2. Schematic of plate heater using in the experiment

درجه سلسیوس تجاوز کند. برای این منظور از حمام آب گرم مطابق شکل ۱ در دمای ۷۰ درجه سلسیوس استفاده شده است. از حمام دما ثابت برای ثابت نگهداشتن دمای سیال ورودی، دستیابی به دمای مختلف از ۹۰ تا ۲۰ درجه سلسیوس برای کالیبره کردن ترموکوپل ها و همچنین ذوب کردن پارافین در دمای ۷۰ درجه سلسیوس استفاده شده است. دقت این دستگاه در کاتالوگ شرکت سازنده مقدار  $\pm 0.5^{\circ}\text{C}$  درجه سلسیوس ذکر شده است.

مس و آلومینیوم از جمله مواد رایج برای ساخت فومهای فلزی

اندازه گیری ضریب ھدایت حرارتی استفاده شده است. روش کار این دستگاه به این صورت می باشد که با عبور جریان الکتریکی از یک سیم نازک و ایجاد حرارت و آنالیز دمایی نمونه، ضریب ھدایت حرارتی نمونه بدست می آید. ضریب ھدایت حرارتی پارافین در فاز جامد و مایع به ترتیب برابر  $0.217 \text{ و } 0.02 \text{ وات بر متر بر کلوین}$  بدست آمده است که مطابق نتایج مراجع قبلی از جمله نتایج مشایخی و همکاران [۲۲] می باشد. طبق دستورالعمل گفته شده برای این محصول، در هنگام ذوب کردن و تزریق آن درون مجموعه، نباید دمای آن از



شکل ۳. مجموعه سیستم مدیریت حرارتی به همراه گرمکن

Fig. 3. Set up of thermal management system with plate heater

جدول ۱. مقادیر عدم قطعیت برای پارامترهای مورد نظر در آزمایش

Table 1. Uncertainty values for the desired parameters in the experiment

پارامتر	میزان عدم قطعیت
دماهی هیتر (دماهی مجاز)	٪ ۱/۲
دبی سیال (۷۰۰ ml/min)	٪ ۱/۴
مقاومت هیتر	٪ ۰/۹
اختلاف فشار	٪ ۰/۷۵
توان مصرفی پمپ	٪ ۱/۵

باتری‌ها نگرانی زیادی را به وجود می‌آورند. این موضوعات ایمن‌سازی را عمدتاً فرار حرارتی می‌نامند. این پدیده باعث یک افزایش ناگهانی در دما تحت شرایط کاری می‌باشد. فرار حرارتی یک واکنش حرارتی غیرقابل کنترل می‌باشد که ممکن است باعث انفجار یا آتش‌سوزی در باتری شود. بنابراین، تست باتری اصلی تحت این شرایط کاری، نسبتاً خطرناک و پرهزینه می‌باشد. لذا بجای استفاده از باتری اصلی، از گرمکن حرارتی کتابی در آزمایشات استفاده شده‌است برای ساخت گرمکن حرارتی، از صفحات میکا و صفحه آلومینیومی با ضخامت ۰/۲ میلی‌متر استفاده شده‌اند. ماده میکا از تماس الکتریکی جلوگیری می‌کند. در شکل ۲ نمایی از گرمکن کتابی نشان داده شده‌است.

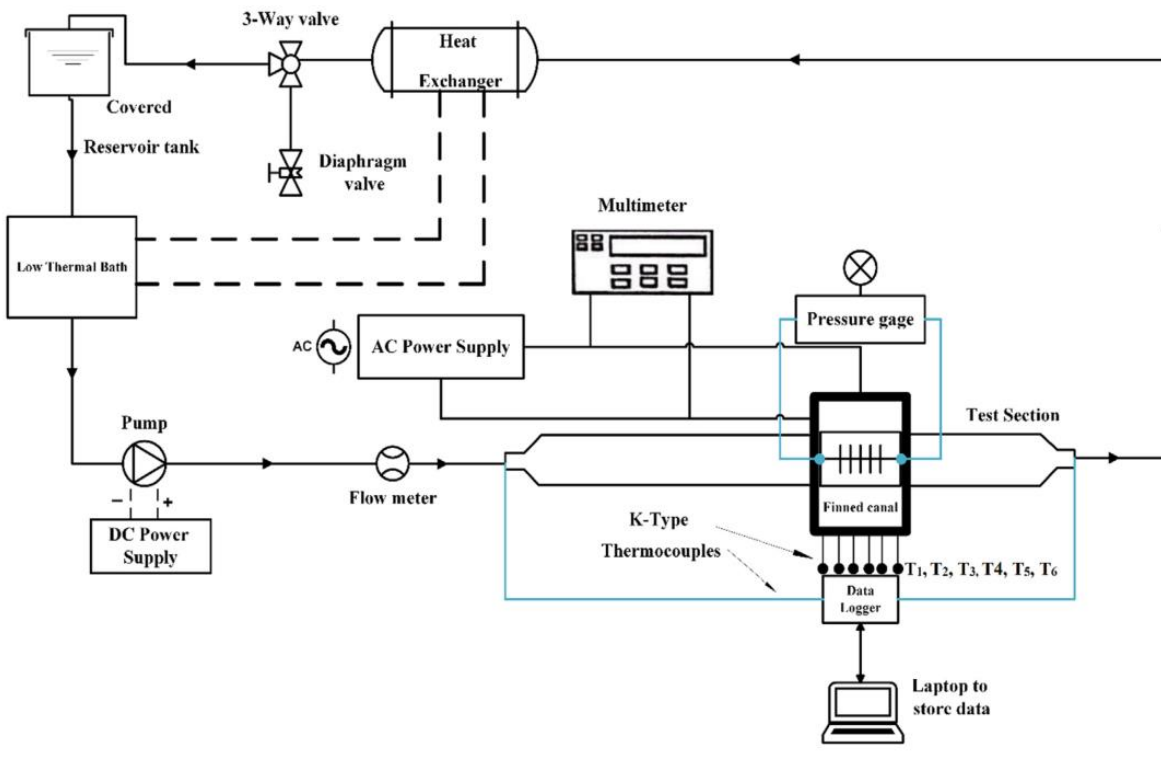
می‌باشند ولی مس خواص حرارتی بهتری نسبت به سایر مواد دارد [۲۱-۲۲] که به همین علت در این مطالعه از فوم مسی استفاده شده‌است. در مطالعه حاضر از فوم مسی با تخلخل ۹۰٪ و با تعداد حفره در اینچ برابر با ۲۰، ارتفاع ۸۰ میلی‌متر، عرض ۳۲ میلی‌متر و طول ۱۳۰ میلی‌متر استفاده شده‌است. این فوم فلزی از شرکت تحقیقاتی و صنعتی نانوپوشش فلز که یکی از شرکت‌های دانش‌بنیان فعال در زمینه تولید محصولات با تکنولوژی بالا در حوزه نانوتکنولوژی است و در پارک علم و فناوری دانشگاه تهران مستقر می‌باشد، تهیه شده‌است که توسط مراجع قبلی نیز [۲۱] مورد استفاده قرار گرفته‌است. از مزایای این فوم فلزی می‌توان به سبک‌بودن و بالابودن ضریب رسانش آن اشاره کرد.

### ۳-۲- مجموعه دستگاه آزمایش

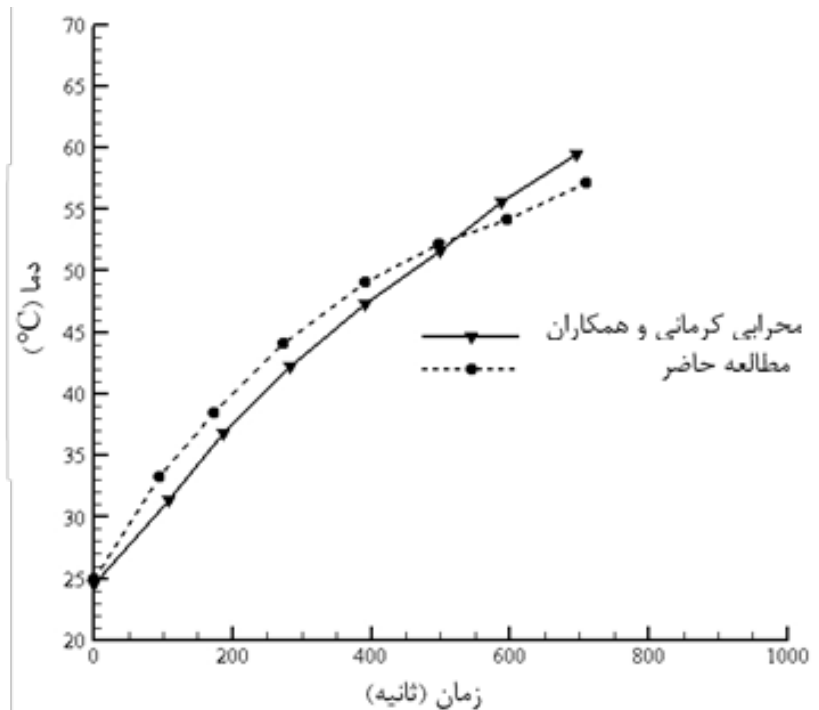
سیستم مدیریت حرارتی به همراه گرمکن‌های کتابی داخل جعبه‌ای تحت فشار نصب شده‌است تا سطح تماس میان اجزا افزایش یابد و در شکل ۳ نشان داده شده‌است. فوم مسی با ابعاد ۱۳۰\*۸۰\*۳۲ میلی‌متر

### ۲-۲- باتری لیتیوم-یون کتابی

تولید حرارت در حین عملیات شارژ و تخلیه حرارتی به دو عامل اصلی بازگشت‌پذیری و غیرقابل بازگشت‌پذیری آن بستگی دارد. علی‌رغم فواید زیاد باتری‌های لیتیوم-یونی، دغدغه ایمن‌سازی این دسته از



(الف)



(ب)

شکل ۴. الف) طرحواره مجموعه آزمایش ب) اعتبارسنجی نتایج آزمایشگاهی حاضر با نتایج تجربی محрабی و همکاران [۲۲]

Fig. 4. a) Schematic of experimental set up b) Validation of the present experimentally results with the experimental results of Mehrabi et. al. [22]

و گمانی است که درباره نتیجه هر اندازه‌گیری پدید می‌آید. ممکن است تصور شود که یک وسیله اندازه‌گیری کاملاً قابل اعتماد است و نتیجه درستی از اندازه‌گیری ارائه می‌دهد، ولی همیشه در تجهیزات اندازه‌گیری حتی دقیق‌ترین آن‌ها شک وجود دارد. معمولاً آنالیز عدم قطعیت با دو نوع خطا مواجه می‌شود. یک خطای سیستماتیک دستگاه اندازه‌گیری که با هر بار تکرار از بین نمی‌رود که به آن خطای باسیس<sup>۱</sup> گفته می‌شود. در این روند، اندازه‌گیری خطای سیستماتیک همان دقت اندازه‌گیری دستگاه‌ها می‌باشد که در نحوه ساخت دستگاه وجود دارد و جزء محدودیت‌های دستگاه بوده و در واقع اجتناب‌ناپذیر است. خطای دیگر، خطایی است که در تکرارپذیری اندازه‌گیری رخ می‌دهد و برای حالتی پیش می‌آید که مقادیر اندازه‌گیری شده، مقادیر یکسانی را نشان ندهند. این خطا، خطای رندوم<sup>۲</sup> نامیده می‌شود که بیشتر به شرایط محیطی و آزمایشگاهی مربوط بوده و به محدودیت‌های دستگاه ارتباطی پیدا نمی‌کند. در پژوهش حاضر و انجام آزمایش، مقادیر اندازه‌گیری شده را در حالتی که نسبت به تغییرات خود به حالت پایدار رسیده بودند، اندازه گرفته شده‌است. در جدول ۱ مقادیر عدم قطعیت برای پارامترهای مورد نظر در آزمایش نشان داده شده‌است.

### ۳- اعتبارسنجی نتایج تجربی

اکثر بخش‌های سیستم ترکیبی حاضر منطبق بر سیستم ترکیبی معروفی شده توسط مراجع [۲۱-۲۲] است که طرحواره کل سیستم در شکل ۴-الف نشان داده شده‌است. با توجه به تغییرات انجام‌شده در سیستم حاضر و برای اعتبارسنجی نتایج آزمایشگاهی این پژوهش، از کار تحقیقاتی انجام‌شده توسط محرابی و همکاران [۲۴] استفاده شده‌است. آن‌ها از گرمکن‌های کتابی با چاه حرارتی پین‌دار به همراه پارافین برای خنک‌کاری باتری استفاده کردند در حالیکه در سیستم حاضر چاه حرارتی پین‌دار حذف شده‌است. در شکل ۴-ب تغییرات دمایی به دست آمده در پژوهش حاضر با پارافین خالص با نتایج مرجع [۲۴] مقایسه شده‌است. همان‌طور که ملاحظه می‌شود روند تغییرات دمایی هر دو کار مشابه می‌باشد. البته اختلافاتی که وجود دارد به دلیل تفاوت در اعمال شار حرارتی، تفاوت در نوع و مشخصات پارافین‌های استفاده شده و همچنین تفاوت در ابعاد گرمکن‌ها می‌باشد.

میلی‌متر استفاده قرار گرفته و گرمکن‌ها در کنار آنها تعییه شده‌است. گرمکن‌ها به عنوان جایگزین باتری کنار این فوم مسی قرار می‌گیرند. شکل کلی سیستم در مرجع [۲۱ و ۲۲] داده شده‌است که از بیان مجدد آن در اینجا خودداری می‌شود.

برای سنجش تأثیر تفاوت بین دبی‌های ورودی مختلف، از عدد بدون بعد رینولدز در بخش سیال عامل آب خالص استفاده شده‌است که برای محاسبه آن از معادلات (۴) تا (۶) استفاده می‌شود.

$$Re = \frac{UD_h}{\nu} \quad (4)$$

$$U = \frac{Q}{A} \quad (5)$$

$$D_h = \frac{4A}{P} \quad (6)$$

که در آن  $Re$  عدد بدون بعد رینولدز،  $U$  سرعت متوسط سیال ورودی به کanal (m/s)،  $D_h$  قطر هیدرولیکی معادل (m)،  $\nu$  ویسکوزیته سینماتیکی سیال در دمای ورودی به کanal (s/m<sup>2</sup>)،  $Q$  دبی حجمی سیال ورودی به کanal (s/m<sup>3</sup>)،  $A$  سطح مقطع کanal (m<sup>2</sup>) و  $P$  محیط تر شده کanal (m) می‌باشد.

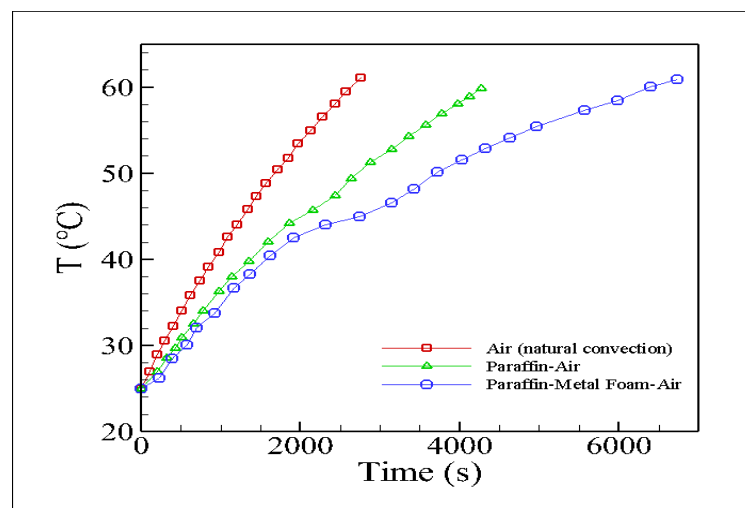
برای اندازه‌گیری دما در طول آزمایش از ترموکوپل نوع K استفاده شده‌است. جهت اتصال ترموکوپل‌ها به بدنه گرمکن‌ها یک شیار به عمق ۱/۵ میلی‌متر روی سطح هر گرمکن تعییه شده و ترموکوپل‌ها با فشار درون آن قرار داده شده‌اند. جهت چسباندن ترموکوپل درون سوراخ ایجاد شده در سطح گرمکن، از چسب سیلیکون حرارتی استفاده شده‌است. هفت ترموکوپل نوع K برای اندازه‌گیری دما مورد استفاده قرار گرفته‌است. دو ترموکوپل به صورت موازی با گرمکن‌های کتابی در فصل مشترک فوم فلزی و یا ماده تغییرفازدهنده و کanal آلومینیومی قرارداده می‌شوند. یک ترموکوپل نیز در مسیر جریان ورودی به کanal آلومینیومی و یک ترموکوپل دیگر در مسیر خروج جریان از کanal آلومینیومی قرار می‌گیرد.

### ۴-۲- تحلیل عدم قطعیت نتایج

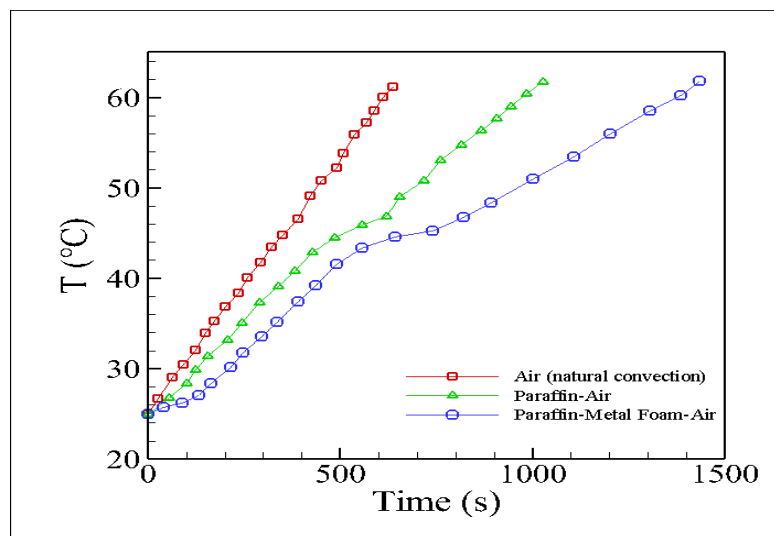
عدم قطعیت اندازه‌گیری، اطلاعاتی راجع به کیفیت نتایج حاصل از اندازه‌گیری را بیان می‌کند. در حقیقت عدم قطعیت شک

<sup>1</sup> Bias

<sup>2</sup> Random



(الف)



(ب)

شکل ۵. تغییرات دمای سطح باتری در توان های حرارتی ۴/۵ وات (الف) و ۱۴ وات (ب) با استفاده از سیال عامل هوا در بخش فعال سیستم ترکیبی و سه حالت برای بخش غیرفعال شامل جریان طبیعی هوا؛ هوا - پارافین و هوا - پارافین - فوم فلزی

**Fig. 5. Variations of temperature battery surface at heating powers (a) 4.5 Watts and (b) 14. Watts using of air as working fluid in the active section of system**

چندین مرتبه تکرار شده تا از صحت نتایج اطمینان حاصل گردد. در این فرایند زمان رسیدن به بیشینه دمای مجاز  $60^{\circ}\text{C}$  یا دمای پایان اندازه‌گیری شده است. نتایج در دو بخش شامل سیستم خنک‌کاری با سیال عامل هوا و سیستم خنک‌کاری با سیال عامل آب ارائه شده است و در هر بخش تاثیر اضافه‌نمودن نانوپارافین روی عملکرد سیستم ارائه شده است.

#### ۴- نتایج

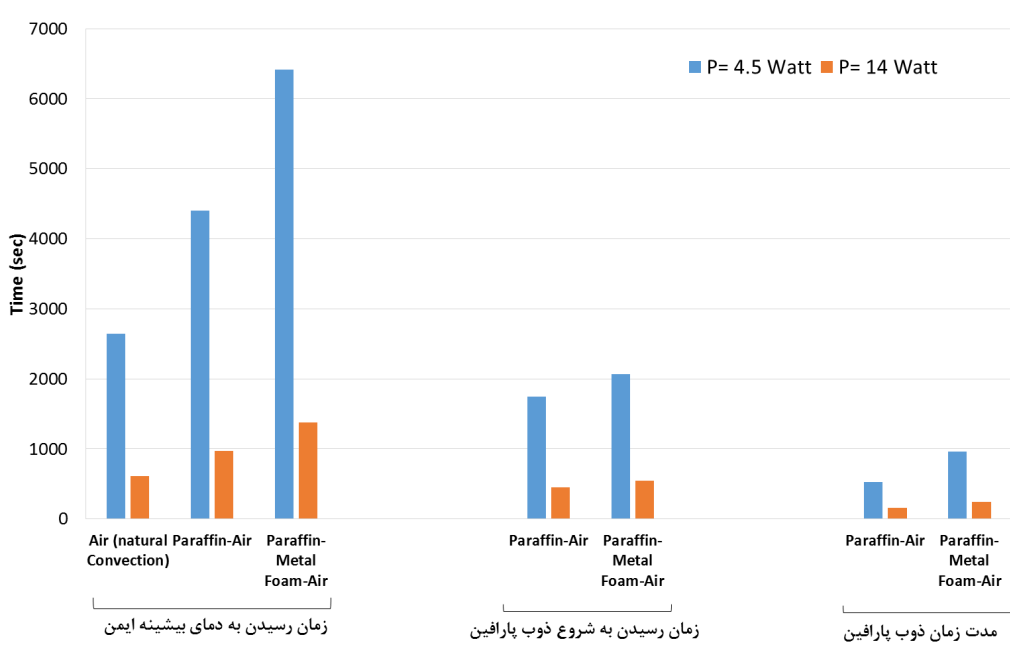
در حین انجام آزمایش‌ها، دمای محیط اطراف ثابت و دمای سیال ورودی به کanal برابر با  $25^{\circ}\text{C}$  درجه سلسیوس بوده است. تغییرات دمای سطح جایگزین باتری (گرمکن) تا رسیدن به شرایط کارکرد پایا یا رسیدن به بیشینه دمای مجاز  $60^{\circ}\text{C}$  ثبت شده است. آزمایش‌ها

#### ۱-۴- سیستم خنک کاری با سیال عامل هوا

در نتیجه فقط با اضافه کردن پارافین، حدود ۶۶٪ مدت زمان رسیدن به دمای بیشینه ایمن نسبت به حالت خنک کاری با جابجایی آزاد هوا افزایش یافته است. همچنین زمانی که دمای سطح باتری در خنک کاری با جابجایی آزاد هوا به ۶۰ درجه سلسیوس می‌رسد (حدود ۲۶۴۵ ثانیه)، دمای سطح باتری در همین زمان با خنک کاری با استفاده از پارافین به  $48/9$  درجه سلسیوس می‌رسد که کاهش حدود ۱۹٪ در دمای سطح باتری نسبت به حالت بدون پارافین را نشان می‌دهد. در نمودار شکل ۵-الف تغییرات دمای سطح باتری با پارافین، ناحیه‌ای با شیب کم وجود دارد که در زمان ۱۷۵۰ تا ۲۲۸۰ ثانیه، رشد اندک دما نسبت به زمان را نشان می‌دهد. این ناحیه نقطه شروع ذوب شدن پارافین را تا زمانی که کل آن تبدیل به مایع می‌گردد نمایان می‌سازد. پس از گذشت تقریباً ۱۸۸۰ ثانیه پارافین جامد که در تماس با گرمکن‌های کتابی قرار دارد به دمای نقطه ذوب خود (۴۲-۴۴ درجه سلسیوس) می‌رسد و در مدت زمان ۵۳۰ ثانیه به طور کامل ذوب می‌شود. در طول این مدت پارافین گرما را به صورت گرمای نهان در خود ذخیره کرده و نرخ افزایش دمای سطح باتری را کاهش می‌دهد. پس از ذوب کامل، پارافین دیگر قادر به ذخیره‌ی گرما به صورت گرمای نهان نبوده و نرخ افزایش دمای سطح باتری افزایش

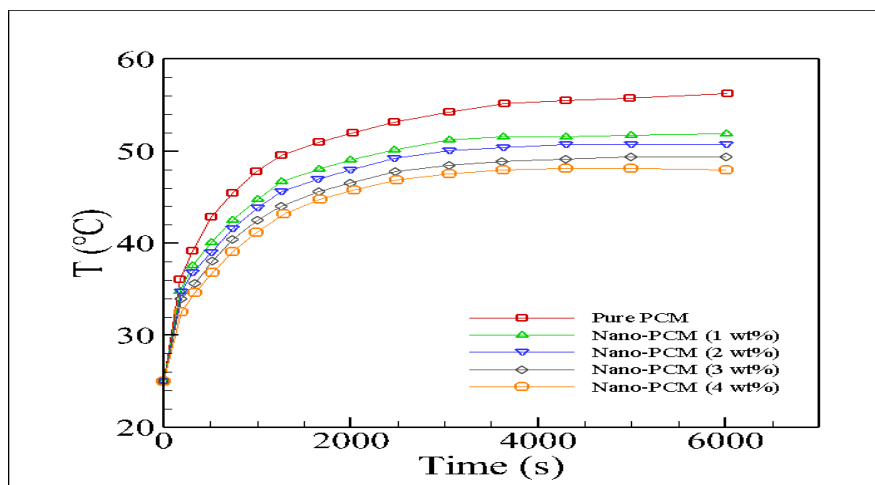
با توجه به اینکه استفاده از سیال هوا در بخش فعال سیستم ترکیبی خنک کاری به خاطر هزینه‌های کمتر پیشنهاد داده شده است، در این بخش عملکرد این سیستم بررسی می‌شود. با توجه به بیشینه دمای ایمن ۶۰ درجه سلسیوس، آزمایش‌ها تا جایی که دمای سطح باتری‌ها (که در این پژوهش به شکل گرمکن‌های کتابی است) به ۶۰ درجه سلسیوس برسد ادامه یافته است. در ابتدا برای نشان دادن تاثیر بخش غیرفعال سیستم ترکیبی خنک کاری برای سه حالت جریان هوای جابجایی آزاد (در بخش غیرفعال)، وجود پارافین و ترکیب پارافین و فوم مسی در دو توان حرارتی ثابت  $4/5$  و  $14$  وات انجام شده و در شکل ۵ داده شده است.

با توجه به نتایج ارائه شده در شکل ۵-الف، در حالت خنک کاری بدون پارافین (جابجایی آزاد هوا) در توان حرارتی  $4/5$  وات دمای سطح گرمکن در مدت زمان ۴۴ دقیقه و ۵ ثانیه (۲۶۴۵ ثانیه) از دمای بیشینه ۶۰ درجه سلسیوس عبور می‌کند. نتایج نشان می‌دهند که در حالت از استفاده از پارافین و بدون فوم مسی به همراه جابجایی آزاد هوا، بیشینه دمای سطح گرمکن (جاگزین باتری در آزمایش) در مدت زمان ۴۳۹۸ ثانیه به دمای ۶۰ درجه سلسیوس رسیده است.



شکل ۶. خلاصه نتایج در سیستم خنک کاری غیرفعال جابجایی آزاد هوا-پارافین و نیز هوا-پارافین-فوم مسی با بخش فعال شامل جریان سیال عامل هوا

**Fig. 6. Summary of results in passive cooling system with free convection air; air-paraffin as well as air-paraffin-copper foam with active part including air flow fluid**



شکل ۷. مقایسه تغییرات دمایی باتری های کتابی با نانوذره و بدون نانوذره با جریان سیال عامل هوا

**Fig. 7. Comparison temperature variations of plates batteries between nano-PCM and pure PCM with air as working fluid**

۲۲٪ را نشان می‌دهد. در توان ۱۴ وات، نمودار تغییرات دما برای خنک کاری با جریان هوا حالت خطی تری نسبت به توان ۴/۵ وات دارد. پس از تقریباً ۴۵۰ ثانیه پارافین شروع به ذوب شدن می‌کند و پس از ۱۶۰ ثانیه کاملاً ذوب شده و نرخ افزایش دما مجدداً افزایش می‌یابد.

ایراد انتقال حرارت با پارافین تنها، پایین بودن ضریب هدایت حرارتی آن است. با توجه به پایین بودن ضریب هدایت حرارتی پارافین، گرمای منتقل شده در آن جمع شده و موجب ذوب کامل آن می‌گردد و در نتیجه پارافین مزیت اصلی خود که گرمای نهان بالا است را از دست می‌دهد و از طرفی قادر به انتقال مناسب گرما از دیواره باتری به سمت کانال سیال خنک کننده نمی‌باشد. از این‌رو با توجه پیشنهاد مراجعی نظیر [۲۱-۲۲ و ۲۴] فوم مسی را داخل پارافین قرار داده و آزمایش‌های با پارافین-فوم مسی انجام شده است. لازم بذکر است که در شکل (۵-الف و ب)، نتایج برای توان‌های ۴/۵ و ۱۴ وات و مشاهده شده که مدت زمان ۶۷۳۱ ثانیه طول می‌کشد تا دمای سطح باتری از ۲۵ درجه سلسیوس محیط پیرامون به ۶۰ درجه سلسیوس برسد. با اضافه نمودن فوم مسی نیز داده شده‌اند. با اضافه کردن فوم مسی، نشان می‌دهد. زمانی که دمای باتری در حالت خنک کاری با هوا

یافته و باتری به بیشینه دمای ایمن می‌رسد. همچنین شبیه تغییرات دما بعد از ذوب کامل پارافین تقریباً ۴۰٪ نسبت به قبل از شروع ذوب شدن پارافین کاهش می‌یابد. با توجه به اینکه در هنگام ذوب پارافین، حرارت باید از پارافین جامد که ضریب انتقال حرارت کمتری نسبت به پارافین مایع دارد عبور کند و یا به عبارتی، مقاومت حرارتی پارافین جامد از پارافین مایع بیشتر است و لذا این پدیده قابل توجیه می‌باشد. در مجموع استفاده از پارافین حتی بدون فوم مسی خنک کاری باتری را بهبود می‌بخشد در حالی که خنک کاری تنها با جریان جابجایی آزاد هوا کارکرد مطلوبی نداشته و در مدت نسبتاً کوتاهی باتری از بیشینه دمای ۶۰ درجه تجاوز کرده و عمر و ایمنی آن به خطر می‌افتد.

مشابه با آزمایشی که برای گرمکن‌های کتابی کتابی ۴/۵ وات انجام شد، آزمایش برای توان ۱۴ وات نیز انجام شده است و نتایج آن در شکل (۵-ب) نشان داده شده است. در حالت خنک کاری با جریان جابجایی آزاد هوا، دمای سطح باتری در مدت زمان ۶۱۵ ثانیه به بیشینه دمای ایمن ۶۰ درجه سلسیوس رسیده است. در حالت خنک کاری با پارافین خالص، ۹۷۵ ثانیه طول کشیده تا دمای سطح باتری به ۶۰ درجه سلسیوس رسیده است. همچنین زمانی که دمای باتری خنک شده با جریان سلسیوس برسد. آزاد هوا به ۶۰ درجه سلسیوس می‌رسد دمای سطح باتری خنک شده با پارافین خالص به ۴۶/۸ درجه سلسیوس رسیده که کاهش حدود

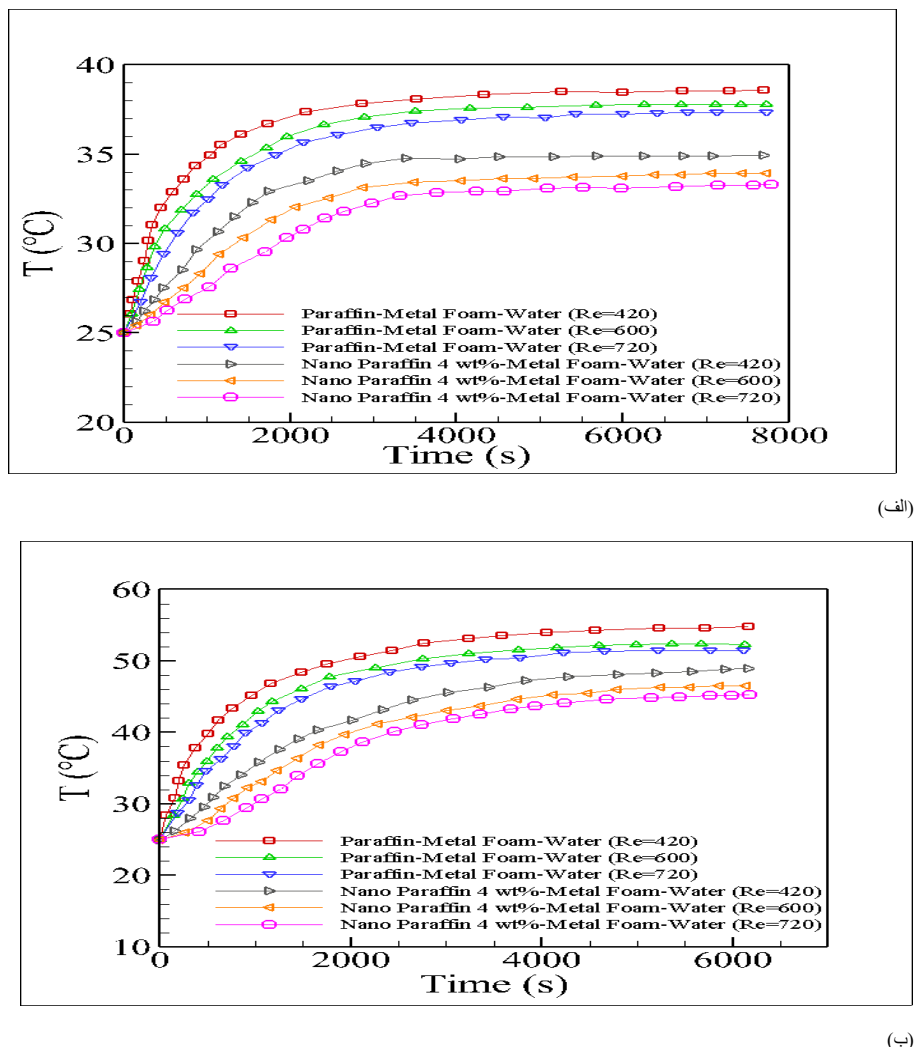
برای درک بهتر اثر سیستم‌های مختلف حرارتی در خنک‌کاری با تری خلاصه‌ای از نتایج در شکل ۶ نشان داده شده است.

به منظور بررسی اثر اضافه کردن نانو ذرات تیتانیوم به ماده تغییر فازدهنده، به مقایسه‌ی نتایج حاصل از نانو پارافین آماده شده در درصد های حجمی مختلف با حالت پارافین بدون نانو ذرات پرداخته شده است. در شکل ۷، نتایج تجربی حاصل برای تغییرات دمای بیشینه گرمن بر حسب زمان در پنج حالت مختلف پارافین خالص و نانو پارافین در چهار درصد حجمی مختلف داده شده است. با توجه به این شکل می‌توان مشاهده نمود که در همه حالتهای سیستم ترکیبی با پارافین خالص و نانو پارافین رفتاری مشابه دارند. با توجه به شکل ۷، میزان عملکرد خنک‌کاری سیستم به ازای اضافه کردن نانوذرات به پارافین، افزایش چشمگیری در مقایسه با حالت پارافین خالص داشته است. دمای ذوب پارافین ۴۲ تا ۴۴ درجه سلسیوس می‌باشد. با توجه به نتایج، اضافه کردن نانو ذرات به میزان ۴ درصد حجمی باعث به تأخیر اندختن زمان ذوب شدن پارافین به میزان ۱۲۹۱ ثانیه شده که باعث افزایش عملکرد خنک‌کاری ماده تغییر فازدهنده شده است. پس از گذشت یک ساعت و ۴۰ دقیقه از زمان شروع آزمایش، دمای با تری (گرمنکن کتابی) در حالتهای پارافین خالص، و نانو پارافین ۱، ۲، ۳ و ۴ درصد حجمی به ترتیب برابر  $C^{\circ}$  ۵۶/۲،  $C^{\circ}$  ۵۱/۸،  $C^{\circ}$  ۵۰/۷،  $C^{\circ}$  ۴۹/۳ و  $C^{\circ}$  ۴۸ می‌باشد. با مقایسه دو حالت پارافین خالص و نانو پارافین ۴ درصد حجمی، مقدار تقریبی ۱۷٪ کاهش دما در اثر اضافه نمودن نانوذرات به پارافین بدست آمده است که بیانگر تاثیر مهم استفاده از نانوذرات در سیستم ترکیبی پیشنهادی می‌باشد..

#### ۲-۴- سیستم ترکیبی خنک‌کاری با سیال عامل آب خالص

برای خنک‌کاری با سیال عامل آب خالص، دمای جریان ورودی ثابت و برابر ۲۴ درجه سلسیوس در نظر گرفته شده است. آزمایش در دو توان حرارتی مختلف  $4/5$  و  $14$  وات و در سه عدد رینولدز جریان برابر  $420$  و  $600$  و  $720$  انجام شده تا اثر خنک‌کاری با آب در کنترل دمای با تری بررسی شود. با توجه به نتایج بدست آمده از بخش قبل، سیستم خنک‌کاری با وجود فوم مسی و پارافین در بخش غیرفعال سیستم ترکیبی در نظر گرفته شده و نانوذرات در کسر حجمی ۴ درصد به پارافین اضافه شده است. در شکل ۸ نتایج تجربی بدست آمده برای تغییرات دمای بیشینه با تری (گرمنکن کتابی) بر حسب زمان و در

آزاد به ۶۰ درجه سلسیوس می‌رسد، دمای با تری خنک‌کاری شده با پارافین خالص  $48/9$  درجه سلسیوس شده است (۱۹٪ کاهش). همچنین زمانی که دمای کارکرد با تری با پارافین خالص به ۶۰ درجه سلسیوس می‌رسد، دمای با تری خنک‌کاری شده با پارافین و فوم مسی به  $52/8$  درجه سلسیوس رسیده که کاهش حدود  $13$  درصدی در کاهش دما را نسبت به پارافین خالص فراهم می‌آورد. این کاهش مشخصاً به دلیل افزایش ضریب هدایت حرارتی مجموعه پارافین و فوم مسی نسبت به پارافین تنها می‌باشد. با اضافه کردن فوم مسی، انتقال گرما از دیواره با تری به محیط پیرامون بهتر انجام شده و تجمع گرمایی کمتری در با تری صورت گرفته و در نتیجه سیستم مدیریت گرمایی عملکرد بهتری خواهد داشت. با توجه به شکل (۵-الف) مشاهده می‌شود که با اضافه شدن فوم مسی، نه تنها نقطه شروع شدن فرآیند ذوب شدن پارافین به تاخیر افتاده است، بلکه مدت زمان ذوب شدن پارافین نیز از  $530$  ثانیه در حالت پارافین خالص به  $96$  ثانیه در حالت اضافه شدن فوم مسی افزایش یافته است. با وجود اینکه اضافه کردن فوم مسی انتقال حرارت در داخل با تری را سرعت می‌بخشد، به دلیل پایین بودن ضریب جابجایی هوا در اطراف جعبه با تری، خروج گرما از با تری به درستی صورت نمی‌گیرد. با توجه به نتایج برای شار حرارتی  $14$  وات در شکل ۵-ب مشاهده می‌شود که با تری خنک‌کاری شده با پارافین و فوم مسی تقریباً  $1377$  ثانیه طول می‌کشد که به بیشینه دمای کارکرد اینم برسد. این مدت  $40$  ثانیه کمتر از مدت زمان مربوط به با تری با پارافین خالص می‌باشد. در نتیجه  $41\%$  بهبود در زمان رسیدن با تری به مرز  $60$  درجه سلسیوس با استفاده از فوم مسی حاصل شده است. زمانی که دمای کارکرد با تری با پارافین خالص به  $60$  درجه سلسیوس می‌رسد، دمای با تری خنک‌کاری شده با پارافین و فوم مسی به  $50/9$  درجه سلسیوس رسیده که کاهش  $15/2$  درصدی در کاهش دما را نسبت به پارافین خالص فراهم می‌آورد. در نتیجه مشاهده می‌شود که در توان حرارتی بالاتر، فوم مسی تاثیر بیشتری در مقایسه با توان حرارتی پایین تر در کاهش دمای با تری داشته است. لازم بذکر است که در حالت کلی، رفتار حرارتی سیستم بررسی شده در این بخش در توافق با نتایج گزارش شده توسط مراجع [۲۱-۲۴] نیز می‌باشد. اگرچه با توجه به تفاوت در نوع پارافین و یا سیال عامل و نیز شرایط مختلف توان حرارتی، از لحاظ کمی نتایج متفاوت می‌باشند.



شکل ۸. تاثیر عدد رینولدز جریان آب خالص در سیستم ترکیبی با بخش فعال سیال عامل آب خالص و دو حالت بخش غیرفعال شامل پارافین-فوم فلزی و نانوپارافین ۴ درصد-فوم فلزی در خنک کاری سیستم در توان های (الف) ۴/۵ وات و (ب) ۱۴ وات

**Fig. 8. The effect of Reynolds number of pure water flow in a combined system with the active part of the pure water as working fluid and two cases in the passive part, including paraffin-metal foam and 4% nano-paraffin-metal foam in the cooling system at (a) 4.5 Watts and (b) 14 Watts**

نکرده است. همچنین در عدد رینولدز ۶۰۰، دمای گرمکن در حالت استفاده از سیستم ترکیبی پارافین خالص-فوم مسی-جریان سیال عامل آب، پس از ۲۸۹۲ ثانیه به مقدار پایدار ۳۷ درجه سلسیوس رسیده است که همانند حالت قبل از دمای ۶۰ درجه سلسیوس تجاوز نکرده است. با مقایسه این دو مقدار عدد رینولدز نتیجه می شود که

حالتهای مختلف ارائه شده است. با توجه به شکل ۸-الف و برای توان حرارتی ۴/۵، مشاهده می شود که در عدد رینولدز ۴۲۰، دمای گرمکن کتابی در حالت استفاده از سیستم ترکیبی پارافین خالص-فوم مسی-جریان سیال آب، پس از تقریباً ۳۵۱۶ ثانیه به مقدار پایدار ۳۸/۱ درجه سلسیوس رسیده و از بیشینه دما ۶۰ درجه سلسیوس تجاوز

توجهی در کنترل دمای باتری داشته و نه تنها از ذوب شدن پارافین جلوگیری کرده بلکه دمای باتری را نیز پایدار نگه داشته است. با توجه به شکل -۸الف، افزودن نانو ذرات به پارافین خالص با ترکیب فوم مسی و جریان آب، باعث کاهش چشمگیر دمای گرمکن شده است. نتایج حاصل نشان می‌دهند که در جریان سیال عامل آب با عدد رینولذ ۴۲۰، مقدار دمای گرمکن پس از ۲۵۶۳ ثانیه به دمای پایدار ۳۴ درجه سلسیوس رسیده که در مقایسه با حالت پارافین خالص، در همین زمان حدوداً ۳ درجه سلسیوس کاهش دما داشته است. همچنین در عدد رینولذ جریان برابر با ۶۰۰، مقدار دمای گرمکن بعد از ۲۸۷۵ ثانیه به دمای پایدار ۳۳ و در عدد رینولذ برابر با ۷۲۰، مقدار دمای گرمکن بعد از ۴۲۴۴ ثانیه به دمای پایدار ۳۲/۵ درجه سلسیوس رسیده که در مقایسه با حالت پارافین خالص به ترتیب مقدار ۴ و ۴/۶ درجه سلسیوس کاهش دما را نشان می‌دهند. با افزایش توان گرمکن کتابی به ۱۴ وات، مطابق شکل (-۸-ب) مشاهده می‌شود که در هر سه عدد رینولذ جریان سیال آب در بخش فعال سیستم ترکیبی، سیستم مدیریت گرمایی قادر است تا دمای پایدار باتری را در کمتر از ۶۰ درجه سلسیوس نگه دارد. در عدد رینولذ ۴۲۰ و در حالت استفاده از فوم مسی و پارافین خالص، پس

استفاده از فوم مسی و جریان سیال عامل آب خالص، موجب کاهش به ترتیب ۴۰٪ و ۴۱/۵٪ در دمای باتری شده است. در عدد رینولذ ۷۲۰ دمای باتری به دمای پایدار ۳۷/۱ درجه سلسیوس رسیده که نسبت به حالت بدون فوم مسی، موجب کاهش ۴۱/۲٪ در بیشینه دمای باتری شده است. البته باید به این نکته توجه کرد که در حالت بدون فوم مسی، دمای باتری اصلاً به میزان پایدار نرسیده است. همچنین در عدددهای رینولذ ۶۰۰ و ۷۶۰، زمان رسیدن دمای باتری به حالت پایدار به ترتیب ۲۸۹۲ و ۴۵۶۴ ثانیه می‌باشد. با افزایش عدد رینولذ مشاهده می‌شود که نمودار تغییرات دمای باتری به هم نزدیک تر می‌شوند که گویای این مطلب می‌باشد که تاثیر افزایش عدد رینولذ در توان‌های پایین در کاهش دمای باتری، دارای حد بالایی بوده و بیشتر از آن مقدار، افزایش دبی جریان تاثیری بر خنک‌کاری باتری ندارد. بنابراین در توان ۴/۵ وات و با وجود فوم مسی، در هیچ عدد رینولذی دمای سطح باتری به بیشینه ۶۰ درجه سلسیوس نرسیده و لذا می‌توان از سیستم خنک‌کاری آب به همراه پارافین و فوم مسی، به خوبی در توان‌های حرارتی پایین استفاده کرد و نیازی به استفاده از نانوپارافین وجود ندارد. در مقایسه با خنک‌کاری باتری با پارافین بدون فوم مسی مشاهده می‌شود که اضافه کردن فوم مسی نقش قابل

جدول ۲. نتایج بدستآمده در سیستم ترکیبی خنک‌کاری با نانو پارافین-فوم مسی و جریان سیال عامل آب در سه عدد رینولذ و دو توان حرارتی متفاوت

**Table 2. Results obtained in a combined cooling system with nano-paraffin-copper foam and water as working fluid flow in three Reynolds numbers and two different thermal powers**

Re=720			Re=600			Re=420			رسیدن به دمای پایدار
P=14 (W)	P=4.5 (W)	P=14 (W)							
۴۴	۳۲/۵	۴۶/۵	۳۳/۹	۴۸/۹	۳۴/۹				دمای نهایی سطح باتری
۶۲۳۴	۷۸۲۳	۶۱۳۹	۷۷۲۳	۶۱۶۷	۷۶۹۲				زمان رسیدن به دمای نهایی
۱۸۲۶	-	۱۹۲۷	-	۱۶۷۴	-				زمان شروع ذوب شدن پارافین
۱۲۱۵	-	۱۲۹۳	-	۱۱۵۸	-				مدت زمان ذوب شدن پارافین

محققین قبلی، تاثیر افودن نانوذرات به پارافین در سیستم ترکیبی شامل فوم مسی بطور تجربی مورد بررسی قرار گرفته است. سیستم خنک کاری ترکیبی شامل دو بخش فعال و غیرفعال می باشد. تاثیر افودن نانوذرات برای دو نوع سیال عامل هوا و آب خالص در بخش فعال مورد توجه قرار گرفته است. همچنین عملکرد سیستم حرارتی ترکیبی با دو توان حرارتی  $4/5$  و  $14$  وات درنظر گرفته شده است.

نتایج حاصل در حالت استفاده از سیال عامل هوا برای بخش فعال سیستم خنک کاری نشان داد که اولاً وجود بخش غیرفعال با پارافین، پارافین-فوم مسی و نانو پارافین-فوم مسی برای نگهداشتن دمای باتری در محدوده ایمن  $60$  درجه سلسیوس و مخصوصاً در حالت کار کرد با توانهای حرارتی بالا (در این تحقیق  $14$  وات) ضروری می باشد. این مطلب نشان داد که در صورت استفاده از سیال عامل هوا در بخش فعال سیستم، لزوماً باید بخش غیرفعال سیستم بصورت ترکیب نانوپارافین-فوم مسی طراحی شود تا دمای باتری از دمای ایمن فراتر نرود. نتایج بدست آمده مشخص نمودند که با افزایش درصد حجمی نانوذرات اکسید تیتانیوم به پارافین در بخش غیرفعال سیستم ترکیبی، مقدار بیشینه دمای باتری به خوبی کاهش یافته است. به عنوان نمونه با استفاده از سیال عامل هوا در بخش فعال و در توان حرارتی  $4/5$  وات، میزان عملکرد خنک کاری سیستم به ازای اضافه کردن نانوذرات به پارافین، افزایش چشمگیری در مقایسه با حالت پارافین خالص داشته است بطوریکه اضافه کردن نانو ذرات در مقدار  $4$  درصد حجمی، باعث به تاخیر انداختن زمان ذوب شدن پارافین به میزان  $1291$  ثانیه شده و لذا باعث افزایش عملکرد خنک کاری ماده تغییر فازدهنده شده است. در حالت استفاده از سیال عامل هوا در بخش فعال و پس از گذشت یک ساعت و  $40$  دقیقه از زمان شروع آزمایش، دمای باتری (گرمکن کتابی) در حالت های استفاده از پارافین، خالص، نانوپارافین  $1$  تا  $4$  درصد حجمی به ترتیب برابر  $C^{\circ} 56/2$ ،  $C^{\circ} 51/8$ ،  $C^{\circ} 50/7$ ،  $C^{\circ} 49/3$  و  $C^{\circ} 48$  بوده است. با مقایسه دو حالت پارافین خالص و نانوپارافین  $4$  درصد حجمی، مقدار تقریبی  $17\%$  کاهش دما مشاهده شده است. بنابراین افزودن نانو ذرات اکسید تیتانیوم باعث افزایش ضریب هدایت حرارتی، افزایش زمان ذوب شدن پارافین و نیز باعث کاهش دمای باتری و بخش گرمای یکنواخت باتری شده است.

بررسی تاثیر نانوپارافین در سیستم ترکیبی با سیال عامل آب

از  $1674$  ثانیه پارافین شروع به ذوب شدن می کند و پس از مدت زمان  $1158$  ثانیه دیگر، کاملاً ذوب می شود. در طی مدت ذوب شدن، پارافین که ضریب هدایت حرارتی آن با اضافه شدن فوم مسی افزایش یافته است، حرارت را در خود جذب کرده و شب افزایش دما در گرمکن کتابی را کاهش می دهد. در نهایت پس از  $3229$  ثانیه دیگر (حدود  $6100$  ثانیه از شروع ذوب شدن)، باتری به دمای پایدار  $53$  درجه سلسیوس می رسد. در عدددهای رینولذز  $600$  و  $760$ ، دمای پایدار گرمکن به ترتیب بعد از  $3245$  و  $4222$  ثانیه، به دمای  $51$  و  $50/6$  درجه سلسیوس رسیده است. لذا مشاهده می شود که با افزایش عدد رینولذز از  $420$  به  $600$  و  $720$  به ترتیب کاهش  $4/6\%$  و  $4/6\%$  در دمای نهایی باتری اتفاق افتاده است. همچنین با افزایش عدد رینولذز، شروع ذوب شدن پارافین به تاخیر افتاده و از  $1674$  ثانیه در عدد رینولذز  $420$ ، به  $1826$  ثانیه در عدد رینولذز  $720$  افزایش یافته است. نتایج حاصل مشخص نمودند که در توان حرارتی  $14$  وات برای سیستم حاضر، اگرچه افزایش عدد رینولذز موجب کاهش دمای باتری شده ولی این بهبود چندان قابل توجه نمی باشد. بنابراین پیش بینی می شود که اضافه شدن نانو ذرات به پارافین خالص و فوم مسی نقش بیشتری در کنترل دمای باتری داشته باشند.

باتوجه به شکل ۸-ب و برای توان حرارتی  $14$  وات، افزودن نانوذرات به پارافین خالص باعث کاهش قابل توجهی در دمای گرمکن شده است. در عدد رینولذز  $42$  و با استفاده از فوم مسی و نانو پارافین، پس از  $4800$  ثانیه به دمای پایدار  $48$  درجه سلسیوس رسیده است و همچنین در عدددهای رینولذز  $600$  و  $720$  پس از همین مدت زمان، به دمای پایدار  $46$  و  $44$  درجه سلسیوس رسیده است که تاثیر افزایش عدد رینولذز مشخص است. با توجه به نتایج این حالت در مقایسه با حالت پارافین خالص، افزودن نانوذرات به پارافین باعث کاهش دما به میزان  $11\%$  و  $12/5\%$  در  $42$  درجه سلسیوس رسیده است که تاثیر مثبت نانوپارافین بر سیستم ترکیبی مورد استفاده را نشان می دهد.

جهت درک بهتر اثر سیستم های مختلف حرارتی در خنک کاری باتری، خلاصه نتایج برای سیستم خنک کاری با نانوپارافین در جدول ۲ داده شده است.

## ۵- نتیجه گیری

در این پژوهش بر اساس یک سیستم ترکیبی معرفی شده توسط

Zhang, Investigation on the promotion of temperature uniformity for the designed battery pack with liquid flow in cooling process, *Applied Thermal Engineering*, 116 662-655 (2017).

[5] R. Zhao, J. Gu, J. Liu, An experimental study of heat pipe thermal management system with wet cooling method for lithium ion batteries, *Journal of power sources*, (2015) 273 1097-1089.

[6] B. Coleman, J. Ostanek, J. Heinzel, Reducing cell-to-cell spacing for large-format lithium ion battery modules with aluminum or PCM heat sinks under failure conditions, *Applied energy*, 26-14 (2016) 180.

[7] D.-w. Yoo, Y.K. Joshi, Energy efficient thermal management of electronic components using solid-liquid phase change materials, *IEEE Transactions on Device and Materials Reliability*, 649-641 (2004) (4)4.

[8] B. Zalba, J.M. Marín, L.F. Cabeza, H. Mehling, Review on thermal energy storage with phase change: materials, heat transfer analysis and applications, *Applied thermal engineering*, 283-251 (2003) (3)23.

[9] P. Arndt, J. Dunn, R. Willix, Organic compounds as candidate phase change materials in thermal energy storage, *Thermochimica acta*, 68-55 (1984) 79.

[10] S. Shi, Y. Xie, M. Li, Y. Yuan, J. Yu, H. Wu, B. Liu, N. Liu, Non-steady experimental investigation on an integrated thermal management system for power battery with phase change materials, *Energy Conversion and Management*, 96-84 (2017) 138.

[11] A. Elgafy, K. Lafdi, Effect of carbon nanofiber additives on thermal behavior of phase change materials, *Carbon*, 3074-3067 (2005) (15)43.

[12] F. Bahiraei, A. Fartaj, G.-A. Nazri, Experimental and numerical investigation on the performance of carbon-based nanoenhanced phase change materials for thermal management applications, *Energy Conversion and Management*, 128-115 (2017) 153.

[13] D.D.W. Rufuss, L. Suganthi, S. Iniyian, P. Davies, Effects of nanoparticle-enhanced phase change material (NPCM) on solar still productivity, *Journal of Cleaner Production*, 29-9 (2018) 192.

نیز انجام شده و نتایج حاصل نشان دهنده تشابه روند کلی تاثیر اضافه نمودن نانو ذره به پارافین در سیستم با سیال عامل هوا است. تاثیر افزایش عدد رینولذ جریان سیال عامل آب خالص در محدوده مورد بررسی حاضر از ۴۲۰ تا ۷۲۰ و در توانهای حرارتی ۴/۵ و ۱۴ وات است. نتایج نشان دادند که در هر دو حالت استفاده از نانوپارافین و پارافین خالص، با افزایش عدد رینولذ اولاً دمای پایدار باتری کاهش می‌یابد و ثانیاً اختلاف دمای بیشینه باتری بین دو عدد رینولذ ۴۲۰ و ۶۰ در مقایسه با دو عدد رینولذ ۶۰۰ و ۷۲۰ و در یک زمان مشخص؛ کمتر می‌شود. هرچند که در حالت کلی دمای باتری در حالت استفاده از نانوپارافین حدوداً ۴ درجه سلسیوس کمتر از حالت پارافین خالص است. لذا مقایسه نتایج بدست آمده در توان حرارتی ۴/۵ و ۱۴ وات بیانگر تاثیر زیاد افزایش رینولذ در توانهای حرارتی کم بوده است. درنهایت نتایج حاضر از نانوپارافین در سیستم ترکیبی براحتی می‌تواند دمای باتری را کنترل نموده و در محدوده ایمن طراحی شده نگه دارد.

## تشکر و قدردانی

نویسندهای مقاله از مسئولین محترم آزمایشگاه نانو سیالات دانشگاه تهران و نیز مهندس مهرداد کیانی که در انجام این تحقیق کمک شایانی نمودند تشکر و قدردانی می‌کنند. همچنین از پژوهشکده انرژی دانشگاه کاشان برای حمایت از این تحقیق تشکر می‌شود.

## مراجع

- [1] X.T. Liu, Z.H. Chen, C.B. Zhang, J. Wu, A novel temperature-compensated model for power Li-ion batteries with dual-particle-filter state of charge estimation, *Appl. Energy* 123 (2014) 272–263.
- [2] L. Lu, X. Han, J. Li, J. Hua, M. Ouyang, A review on the key issues for lithium-ion battery management in electric vehicles, *Journal of power sources*, 288-272 (2013) 226.
- [3] T. Wang, K. Tseng, J. Zhao, Development of efficient air-cooling strategies for lithium-ion battery module based on empirical heat source model, *Applied Thermal Engineering*, 529-521 (2015) 90.
- [4] T. Zhang, Q. Gao, G. Wang, Y. Gu, Y. Wang, W. Bao, D.

- (13-1 (2020.
- [22] M. Mashayekhi, E. Houshfar, M. Ashjaee, Development of hybrid cooling method with PCM and Al<sub>2</sub>O<sub>3</sub> nanofluid in aluminium minichannels using heat source model of Li-ion batteries, *Applied thermal engineering*, doi: <https://doi.org/10.1016/j.applthermaleng.2020.115543>
- [23] A. Hussain, I.H. Abidi, C.Y. Tso, K.C. Chan, Z. Luo, C.Y. Chao, Thermal management of lithium ion batteries using graphene coated nickel foam saturated with phase change materials, *International journal of thermal sciences*, 124 35-23 (2018).
- [24] M. Mehrabi-Kermani, E. Houshfar, M. Ashjaee, A novel hybrid thermal management for Li-ion batteries using phase change materials embedded in copper foams combined with forced-air convection, *International Journal of Thermal Sciences*, 61-47 (2019) 141.
- [25] Y.S. Ranjbaran, S.J. Haghparast, M. Shojaefard, G. Molaeimanesh, Numerical evaluation of a thermal management system consisting PCM and porous metal foam for Li-ion batteries, *Journal of Thermal Analysis and Calorimetry*, (23-1 (2019).
- [26] J. Zhang, X. Li, F. He, J. He, Z. Zhong, G. Zhang, Experimental investigation on thermal management of electric vehicle battery module with paraffin/expanded graphite composite phase change material, *International Journal of Photoenergy*, 2017 (2017).
- [27] Z. Ling, F. Wang, X. Fang, X. Gao, Z. Zhang, A hybrid thermal management system for lithium ion batteries combining phase change materials with forced-air cooling, *Applied energy*, 409-403 (2015) 148.
- [28] Y. Zhao, B. Zou, C. Li, Y. Ding, Active cooling based battery thermal management using composite phase change materials, *Energy Procedia*, 4940-4933 (2019) 158.
- [14] Z. Wang, X. Li, G. Zhang, Y. Lv, C. Wang, F. He, C. Yang, C. Yang, Thermal management investigation for lithium-ion battery module with different phase change materials, *RSC advances*, 42918-42909 (2017) (68)7.
- [15] R. Mahamud, C. Park, Reciprocating air flow for Li-ion battery thermal management to improve temperature uniformity, *Journal of Power Sources*, (2011) (13)196 5696-5685.
- [16] H. Park, A design of air flow configuration for cooling lithium ion battery in hybrid electric vehicles, *Journal of power sources*, 36-30 (2013) 239.
- [17] T.-H. Tran, S. Harmand, B. Sahut, Experimental investigation on heat pipe cooling for Hybrid Electric Vehicle and Electric Vehicle lithium-ion battery, *Journal of power sources*, 272-262 (2014) 265.
- [18] G. Fang, Y. Huang, W. Yuan, Y. Yang, Y. Tang, W. Ju, F. Chu, Z. Zhao, Thermal management for a tube-shell Li-ion battery pack using water evaporation coupled with forced air cooling, *RSC advances*, 9961-9951 (2019) (18)9.
- [19] C. Lian, Y. Wang, Q. Li, H. Li, X. He, Numerical investigation on the performance of microencapsulated phase change material suspension applied to liquid cold plates, *Numerical Heat Transfer, Part A: Applications*, 358-342 (2019) (5)75.
- [20] J. Liang, Y. Gan, Y. Li, Investigation on the thermal performance of a battery thermal management system using heat pipe under different ambient temperatures, *Energy Conversion and Management*, 9-1 (2018) 155.
- [21] M. Kiani, M. Ansari, A.A. Arshadi, E. Houshfar, M. Ashjaee, Hybrid thermal management of lithium-ion batteries using nanofluid, metal foam, and phase change material: an integrated numerical-experimental approach, *Journal of Thermal Analysis and Calorimetry*,

چگونه به این مقاله ارجاع دهیم

M. Malekipour, M. Sabzpooshani, E. Houshfar, *Investigation on the effect of addition of nano-titanium oxide particles to phase change material in a hybrid system for battery cooling under constant heat flux*, *Amirkabir J. Mech Eng.*, 53(7) (2021) 4379-4396.

DOI: [10.22060/mej.2021.18825.6897](https://doi.org/10.22060/mej.2021.18825.6897)



